

УДК 539.3

ГРАНИЧНО-ЭЛЕМЕНТНЫЙ РАСЧЕТ ДИНАМИКИ ОДНОРОДНЫХ ПОРОУПРУГИХ ТЕЛ^{*)}

А.В. Аменицкий

НИИМ Нижегородского госуниверситета им. Н.И. Лобачевского

Представлены результаты расчетов динамического состояния конечных пороупругих тел на основе метода граничных элементов. На модельной задаче продемонстрированы возможности применения гранично-элементной методики при получении решения краевой динамической задачи пороупругости, имеющей аналитическое решение. Приведен пример численного исследования волн Рэлея на пороупругом полупространстве.

Ключевые слова: граничный элемент, трехмерная динамическая теория пороупругости, численное исследование, распространение пороупругих волн.

Введение

Исследование волновых процессов в пороупругих телах представляет научный и практический интерес. Для широкого диапазона насыщенных материалов упругая теория является грубым приближением при исследовании распространения волн. Для учета пористости широко используется теория М. Био [1, 2].

Вопросами распространения волн в пористых насыщенных средах в последние годы занимались Н.С. Городецкая (1998), Н. Дунин, Д. Михайлов, В. Николаевский (2002), R. Ababou и др. (2002), D.F. Aldridg и др. (2005), J. Jocker и D. Smenlders (2005), G. Chao и др. (2005), H.F. Wang (2000) и многие другие.

В статье используются модифицированные интегральные представления волновых полей в пороупругих средах, полученные ранее М. Schanz [3]. На основе новых граничных интегральных уравнений (ГИУ) пороупругости получены численные гранично-элементные (ГЭ) решения прямых трехмерных динамических задач.

1. Гранично-элементное моделирование

Детали редукции исходной начально-краевой задачи трехмерной теории пороупругости к эквивалентной системе разрешающих ГИУ можно найти в [4, 5].

Чтобы ввести ГЭ-дискретизацию, рассматриваем регуляризованные уравнения:

$$\alpha_{\Omega} \tilde{\mathbf{v}}_k(x, s) + \int_{\Gamma} (\tilde{T}_{ik}(x, y, s) \tilde{\mathbf{v}}_i(y, s) - \tilde{T}_{ik}^0(x, y, s) \tilde{\mathbf{v}}_i(x, s) - \tilde{G}_{ik}(x, y, s) \tilde{t}_i(y, s)) d\Gamma = 0, \quad (1)$$

^{*)} Выполнено в рамках реализации ФЦП «Научные и научно-педагогические кадры инновационной России» на 2009–2013 годы, гранта Президента РФ для государственной поддержки ведущих научных школ РФ (проект НШ-3367.2008.8).

$$\alpha_{\Omega} \tilde{\mathbf{v}}_k(x, t) + \int_0^t \int_{\Gamma} (\tilde{T}_{ik}(x, y, t - \tau) \tilde{v}_i(y, \tau) - \tilde{T}_{ik}^0(x, y, t - \tau) \tilde{v}_i(x, \tau) - \tilde{G}_{ik}(x, y, t - \tau) \tilde{t}_i(y, \tau)) d\Gamma d\tau = 0,$$

$$x \in \Gamma, \quad \tilde{\mathbf{t}} = [t_1, t_2, t_3, q]^T, \quad \tilde{\mathbf{v}} = \{u_1, u_2, u_3, q\}, \quad s = \alpha + i\omega, \quad (2)$$

где u, t – перемещения и силы; p, q – давление и поток; \tilde{G}, \tilde{T} – матрицы фундаментальных и сингулярных решений, а \tilde{T}^0 – особенности сингулярных решений.

Для численного обращения решения ГИУ (1) использован алгоритм, предложенный Дурбином:

$$F_k = \operatorname{Re}[\bar{f}(\alpha + i\omega_k)], \quad G_k = \operatorname{Im}[\bar{f}(\alpha + i\omega_k)], \quad \Delta_k = \omega_{k+1} - \omega_k,$$

$$f(0) = \sum_{k=1}^{\infty} \frac{(F_k + F_{k+1})\Delta_k}{2\pi},$$

$$f(t) \approx \frac{e^{\alpha t}}{\pi t^2} \sum_{k=1}^{\infty} \left[\frac{F_{k+1} - F_k}{\Delta_k} (\cos(\omega_{k+1}t) - \cos(\omega_k t)) - \frac{G_{k+1} - G_k}{\Delta_k} (\sin(\omega_{k+1}t) - \sin(\omega_k t)) \right].$$

Для решения ГИУ (2) применен метод квадратур свертки:

$$y(t) = \int_0^t q(t - \tau)g(\tau)d\tau, \quad y(n\Delta t) = \sum_{k=0}^n \omega_{n-k}(\Delta t)g(k\Delta t), \quad n = 0, 1, \dots, N,$$

$$\omega_n(\Delta t) = \frac{\mathfrak{R}^{-n}}{L} \sum_{l=0}^{L-1} \bar{q}(\gamma \mathfrak{R} e^{il2\pi L^{-1}} / \Delta t) e^{-inl2\pi L^{-1}},$$

$$\gamma(z) = \frac{3}{2} - 2z + \frac{z^2}{2}, \quad x(t, p) = \int_0^t e^{p(t-\tau)}g(\tau)d\tau.$$

2. Численные результаты

Рассмотрена задача, изображенная на рис. 1, со следующими параметрами материала: $K = 8 \cdot 10^9$ Н/м²; $G = 6 \cdot 10^9$ Н/м²; $R = 4,7 \cdot 10^8$ Н/м²; $k = 1,9 \cdot 10^{-10}$ м⁴/(Н·с); $\rho = 2458$ кг/м³; $\rho_f = 1000$ кг/м³; $\phi = 0,19$; $\alpha = 0,867$.

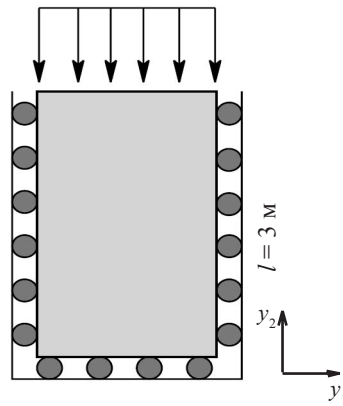


Рис. 1

Нагрузка, действующая на тело, $t_2 = -1 \text{ Н/м}^2$. Граничные условия в области Лапласа имеют вид: $\tilde{u}_2(y_2 = 0) = 0$, $\tilde{q}_2(y_2 = 0) = 0$, $\tilde{\sigma}_2(y_2 = l) = -1/s$, $\tilde{p}(y_2 = l) = 0$.

Гранично-элементная сетка, изображенная на рис. 2, состоит из 504 элементов. Результаты расчетов перемещений и давлений при разных значениях шага по времени приведены на рис. 3, 4 соответственно.

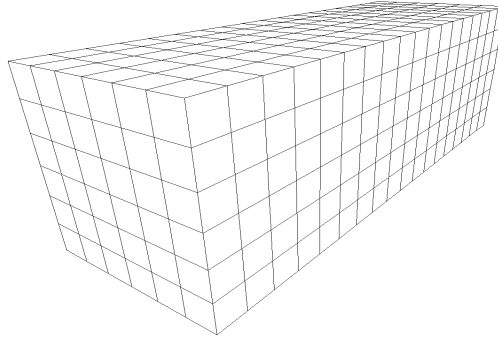


Рис. 2

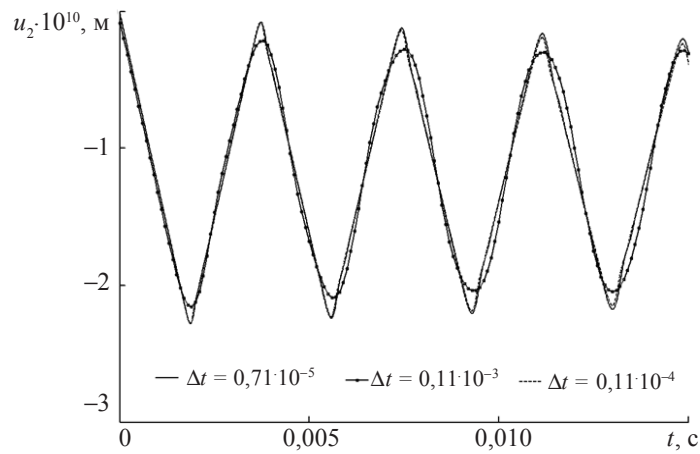


Рис. 3

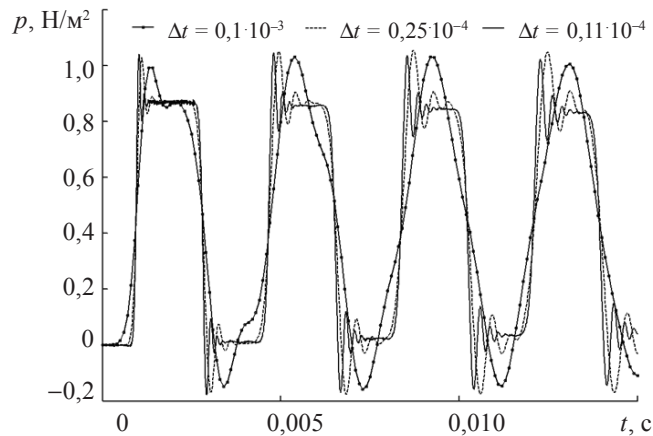


Рис. 4

На примере консоли большой длины ($l=1000$ м) со следующими параметрами: $E=2,544 \cdot 10^8$ Н/м²; $k=3,55 \cdot 10^{-9}$ м⁴/(Н·с); $\nu=0,298$; $R=1,2 \cdot 10^9$ Н/м²; $\rho=1884$ кг/м³; $\rho_f=1000$ кг/м³; $\phi=0,48$; $\alpha=0,98$, можно проследить влияние параметра проницаемости на отклик давления в бесконечной консоли на оси $y_2=995$ м (рис. 5).

Рассмотрим задачу о действии вертикальной силы $t_3(t)=P_0 f(t)$, $P_0=-1$ кН/м², $f(t)=H(t)$ на поверхность полупространства (рис. 6) со следующими параметрами материала: $E=2,544 \cdot 10^8$ Н/м²; $k=3,55 \cdot 10^{-9}$ м⁴/(Н·с); $\nu=0,298$; $R=1,2 \cdot 10^9$ Н/м²; $\rho=1884$ кг/м³; $\rho_f=1000$ кг/м³; $\phi=0,48$; $\alpha=0,98$.

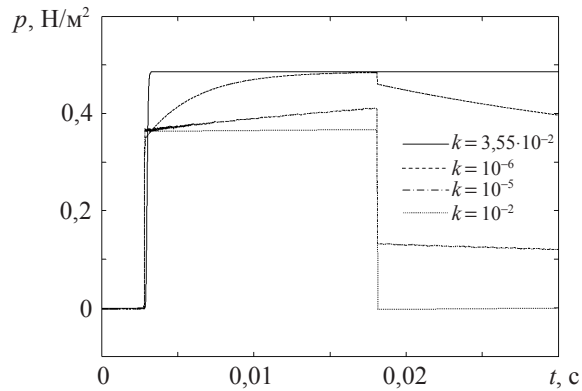


Рис. 5

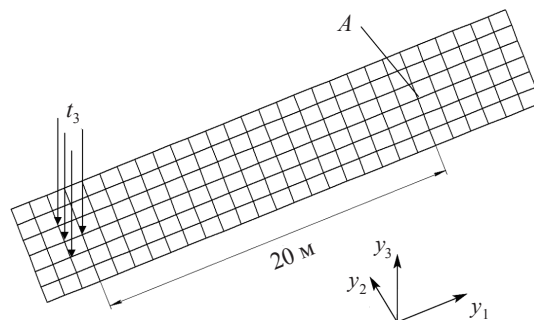


Рис. 6

На рис. 7, 8 приведены соответственно вертикальные и горизонтальные перемещения на расстоянии 20 м от области нагружения. Поверхность полупространства описывается регулярной ГЭ-сеткой, состоящей из 3088 элементов.

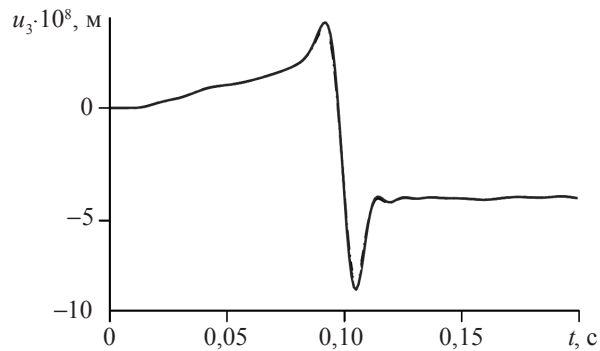


Рис. 7

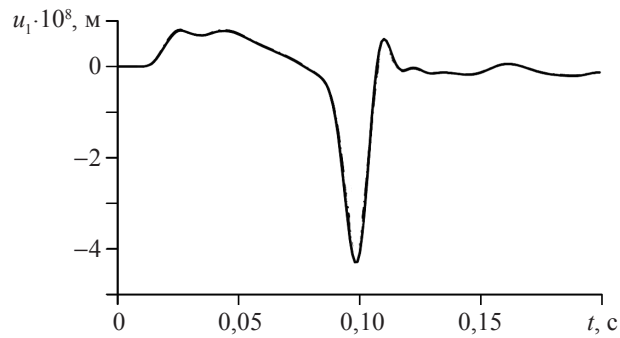


Рис. 8

Исследование влияния расстояния (соответственно 6, 12, 20 м) от места действия силы на форму и амплитуду отклика давления приведено на рис. 9. Тем самым, продемонстрирован вклад волн Рэлея в соответствующий отклик.

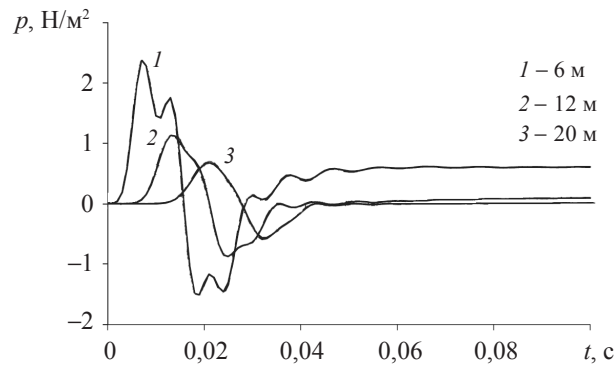


Рис. 9

Исследование влияния коэффициента проницаемости на отклик давлений на расстоянии 3 м при $P_0 = -1 \text{ Н/м}^2$ приведено на рис. 10.

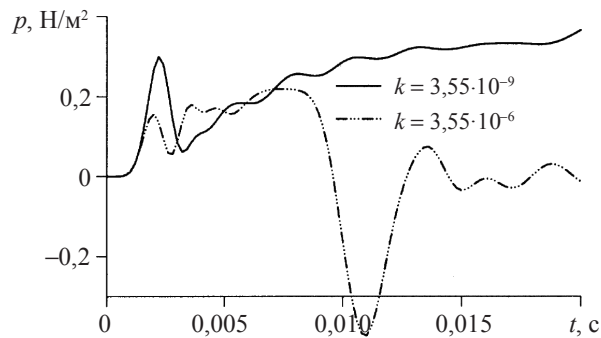


Рис. 10

На основе новых сингулярных ГИУ пороупругости численно получены гранично-элементные решения краевых динамических задач. На модельной задаче проведено исследование влияния шага по времени на результат гранично-элементной аппроксимации искомого отклика. Продемонстрирована высокая точность гранично-элементной расчетной схемы. Показано влияние коэффициента проницаемости

среды на исследуемый отклик в пороупругом теле. Продемонстрирован вклад волны Рэлея в отклик перемещений и давлений на границе пороупругого полупространства.

Литература

1. *Biot, M.* Theory of propagation of elastic waves in a fluid-saturated porous solid. I. Low-frequency range / M. Biot // J. Acoust. Soc. Am. – 1956. – V. 28, № 2. – P. 168–178.
2. *Biot, M.* Theory of propagation of elastic waves in a fluid-saturated porous solid. II. Higher-frequency range / M. Biot // J. Acoust. Soc. Am. – 1956. – V. 28, № 2. – P. 179–191.
3. *Schanz, M.* Wave propagation in viscoelastic and poroelastic continua / M. Schanz. – Berlin: Springer, 2001. – 170 p.
4. *Аменицкий, А.В.* Развитие метода граничных элементов для решения проблемы распространения волн в пористых средах / А.В. Аменицкий, Л.А. Игумнов, И.С. Карелин // Проблемы прочности и пластичности: Межвуз. сб. / Нижегород. ун-т. – 2008. – Вып. 70. – С. 71–78.
5. *Баженов, В.Г.* Методы граничных интегральных уравнений и граничных элементов в решении задач трехмерной динамической теории упругости с сопряженными полями / В.Г. Баженов, Л.А. Игумнов. – М.: Физматлит, 2008. – 352 с.

[9.10.2009]

**BOUNDARY-ELEMENT ANALYSIS OF THE DYNAMICS
OF HOMOGENEOUS POROUSELASTIC BODIES**

A.V. Amenitsky

The results of the analysis of the dynamic state of finite porous-elastic bodies on the basis of the boundary element method are presented. A benchmark problem is used to demonstrate the potential of the boundary element methodology in obtaining a solution of a boundary-value dynamic problem having an analytical solution. The numerical study of Rayleigh waves in a porous-elastic half-space is given as an example.

Key words: boundary element, 3-D dynamic theory of porouselasticity, numerical study, propagation of porous-elastic waves.